

УДК 538.245:537.226.1

**И.И. МАКОЕД, И.Н. МЕЛЬНИКОВА, М.В. ЯРМОЛИЧ,  
А.М. ПАНАСЕВИЧ**

## **МОДЕЛИРОВАНИЕ ПЕТЕЛЬ ДИЭЛЕКТРИЧЕСКОГО ГИСТЕРЕЗИСА ФЕРРИТА ВИСМУТА**

Актуальность темы определяется интенсивностью использования сегнетоэлектриков в науке и технике. Параллельно с синтезом и экспериментальными измерениями ведется поиск новых соединений и теоретическое обоснование экспериментальных данных. Одной из важнейших задач в изучении материалов является установление связи «состав – структура – свойства». Наиболее интересны в этой связи соединения кислородно-октаэдрического типа. Сегнетоэлектрики кислородно-октаэдрического типа весьма схожи по структуре, но в то же время, по химическому составу класс этих соединений очень обширен, что дает основания для поиска новых перспективных материалов.

Перспективными материалами современной микроэлектроники являются сегнетомагнетики – вещества с повышенным взаимодействием магнитной и электрической подсистем, позволяющие создавать устройства на их основе, обладающие принципиально новыми возможностями. Одним из самых популярных соединений является феррит висмута  $\text{BiFeO}_3$ , что в значительной мере связано с рекордно высокими температурами сегнетоэлектрического ( $T_C = 1083$  К) и магнитного ( $T_N = 643$  К) упорядочений.

В работе выполнено теоретическое исследование диэлектрического гистерезиса феррита висмута. Зависимость  $P(E_f)$  была аппроксимирована следующими выражениями [1]: для восходящей ветви:

$$P(E_f) = P_s \operatorname{th}\left(\frac{E_f - E_c}{2d}\right) + P_r(1 - a), \quad (1)$$

для нисходящей ветви:

$$P(E_f) = -P_s \operatorname{th}\left(\frac{-E_f - E_c}{2d}\right) - P_r(1 - a), \quad (2)$$

где  $P_s$  – поляризация насыщения,  $P_r$  – остаточная поляризация,  $E_c$  – коэрцитивное поле,  $0 < a < 1$  – интерполяционный параметр. При такой ап-

проксимации производная  $\frac{dP(E_r)}{dE_r}$  не зависит от амплитуды переменного поля. При  $a = 1$  выражения (1) и (2) переходят в формулы для насыщенной петли гистерезиса. Значения максимального электрического поля  $E_{\max}$  и параметра  $a$  связаны соотношением [1]:

$$2P_r(1-a) = -P_s \operatorname{th}\left(\frac{E_{\max} - E_c}{2d}\right) - P_s \operatorname{th}\left(\frac{-E_{\max} - E_c}{2d}\right), \quad (3)$$

из которого определяли параметр  $a$ . Значение  $d$  находим из выражения

$$d = E_c \left[ \ln \left( \frac{1 + P_r / P_s}{1 - P_r / P_s} \right) \right]^{-1} \quad (4)$$

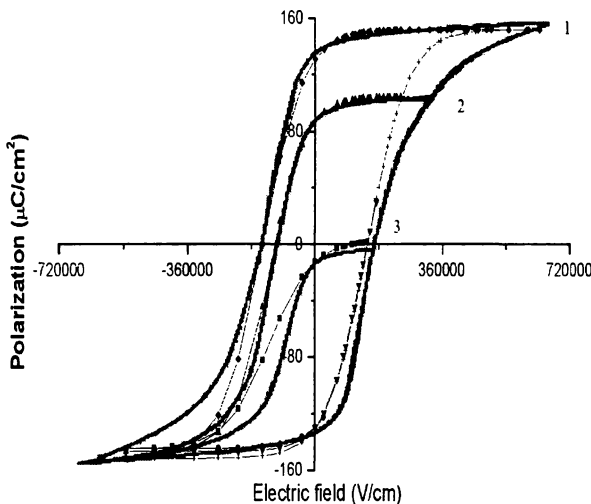
При тестовых расчетах использовали следующие значения параметров: спонтанная поляризация  $P_s = 35 \text{ мКл/см}^2$ , величина остаточной поляризации  $P_r = 25 \text{ мКл/см}^2$ , коэрцитивное поле  $E_s = 2 \cdot 10^5 \text{ В/см}$ . Предварительно были проведены расчеты с изменяющимся параметром  $a$ , для изучения эволюции формы петли гистерезиса.

Результаты их сопоставления с известными экспериментальными данными [2] подтверждают возможность построения полуэмпирической модельной петли гистерезиса  $\text{BiFeO}_3$  при следующих значениях параметров: спонтанная поляризация  $P_s = 2,2 \text{ мКл/см}^2$ , величина остаточной поляризации  $P_r = 0,83 \text{ мКл/см}^2$ , коэрцитивное поле  $E_s = 2 \cdot 10^5 \text{ В/см}$ . Хорошее согласование модели и эксперимента наблюдается при значении параметра  $0.4 < a < 0.7$ .

Чтобы исследовать диэлектрический гистерезис, были использованы экспериментальные данные, полученные для феррита висмута. Результаты моделирования изображены на рисунке 1 в виде точек. Параметры расчетных формул представлены в таблице 1. Полученные результаты подтверждают возможность построения полуэмпирической модели диэлектрического гистерезиса  $\text{BiFeO}_3$ . В то же время, так как диэлектрические свойства образцов существенно зависят от условий их получения, то в каждом конкретном случае данная модель будет работать только при использовании эмпирических данных, что является ее недостатком.

Таблица I – Параметры расчетных формул

№ петли	$P_r$ , мкК/см <sup>2</sup>	$P_s$ , мкК/см <sup>2</sup>	$E_{max}$ , В/см
1	131,03	151,72	633103,45
2	108,28	125,52	322758,62
3	58,62	73,79	173793,10

Рисунок 1 – Экспериментальные (сплошные линии) [2] и теоретические (точки) петли диэлектрического гистерезиса  $\text{BiFeO}_3$ 

Представляет интерес построение «первопринципной» модели, свободной от применения экспериментальных данных и учитывающей структуру и электронное строение атомов вещества.

#### СПИСОК ЛИТЕРАТУРЫ

1. Берман, Л.С. Структурные дефекты на границе раздела сегнетоэлектрик – полупроводник / Л.С. Берман, И.Е. Титков // Физ. и техн. п.п. – 2004. – Т 38, Вып. 6. – С. 710–715.
2. Wang, J. Epitaxial  $\text{BiFeO}_3$  multiferroic thin film heterostructures / J. Wang, J.B. Neaton, H. Zheng [et al] // Science. – 2003. – V. 299. – P. 1719–1722.